

Дослідження та методи аналізу

УДК 622.691.4:536.2

ВПЛИВ ТЕМПЕРАТУРНОГО ФАКТОРА НАВКОЛИШНЬОГО ТА РОБОЧОГО СЕРЕДОВИЩ НА ДОСТОВІРНІСТЬ ОБЛІКУ ГАЗУ В КОМУНАЛЬНО-ПОБУТОВІЙ СФЕРІ

I.C.Петришин, M.B.Кузь

Державний центр стандартизації, метрології та сертифікації, 76007, Івано-Франківськ,
вул. Вовчинецька, 127, тел. (03422) 30200, e-mail: nick@sert.il.if.ua

M.I.Гончарук

НАК "Нафтогаз України", 01001, Київ-1, вул. Б.Хмельницького, 6, тел. (044) 4612537,
e-mail: spas@ugr.viaduk.net

Исследовано воздействие температуры окружающей и рабочей среды на изменение температуры газа в подземных, наземных газопроводах и газопроводах в помещениях, а также температуру газа на выходе счетчика.

Широке застосування природного газу як енергоносія в комунально-побутовому секторі в зв'язку з перерозподілом структури споживання газу між промисловістю і населенням ставить додаткові вимоги до підвищення точності його обліку. За останні десять років прискорений технічний розвиток засобів вимірювань таємні (ЗВТ) обліку споживання газу в побуті приніс багато нових ідей. Однією з них є використання побутових газових лічильників з температурною компенсацією (в першу чергу мембраних та ультразвукових). Але застосування вбудованих термокомпенсаторів (механічних та електронних) суттєво збільшує вартість такого лічильника. Цей захід може бути оправданий з точки зору втрат для газозбутових організацій у випадку установлення лічильників поза межами приміщення, особливо в осінньо-зимовий період, коли втрати при вимірюванні об'єму газу побутовими лічильниками можуть складати для газозбутових організацій до 5-8% від всього об'єму спожитого газу. Установка лічильників поза межами приміщення, що характерне для наших західних сусідів (Угорщина, Словаччина, Чехія та ін.) у нашій державі практично не знайшла застосування, а тому постає питання доцільноті придбання відносно дорогих лічи-

The influence of environmental and operating temperature on the gas temperature in underground, terraneous gas lines and indoor gas lines including gas' temperature at the exit of counter.

льників з вбудованими термокомпенсаторами, які будуть установлюватись в приміщеннях будинку чи квартири. Виходячи з теорії теплообміну реального газу в газопроводі з температурним полем ґрунту та природним температурним полем навколошнього середовища, спробуємо теоретично визначити температуру газу на виході із лічильника, яка згідно з [1] повинна бути характерною для приведення об'єму газу до нормальних умов.

При установці лічильника поза межами приміщення характерними є дослідження, наведені в [2]. Дані дослідження проводились таким чином. Мембраний лічильник типорозміру G6 установлювався надворі, тобто поза приміщенням. Вимірювалась температура газу на вході і на виході з лічильника і порівнювалась з температурою ґрунту на глибині 0,8м (тобто в місці розташування підземних газопроводів, що прокладаються від газорозподільних пунктів) і температурою атмосферного повітря (рис. 1). Результати досліджень наведені на рис. 2.

Аналіз результатів свідчить, що температура газу на виході з мембраних лічильників (до максимального типорозміру G10 включно) менше, ніж на 0,5°C відрізняється від температури атмосферного повітря. Це пояснюється

тим, що в лічильнику газу, що проходить з певною швидкістю, і внутрішня поверхня, створена камерами лічильника, роблять можливою дуже добру конвенцію, змушуючи працювати лічильник як теплообмінник.

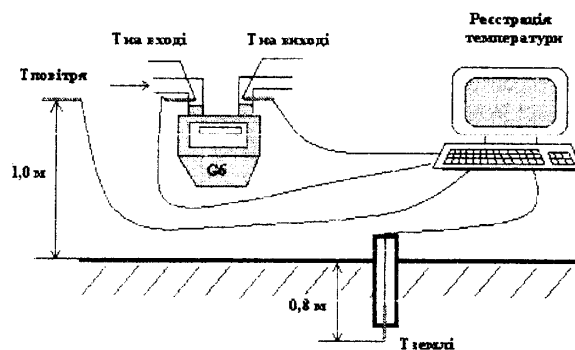


Рисунок 1 – Схема експерименту з визначенням температури на виході з лічильника газу, встановленого надворі

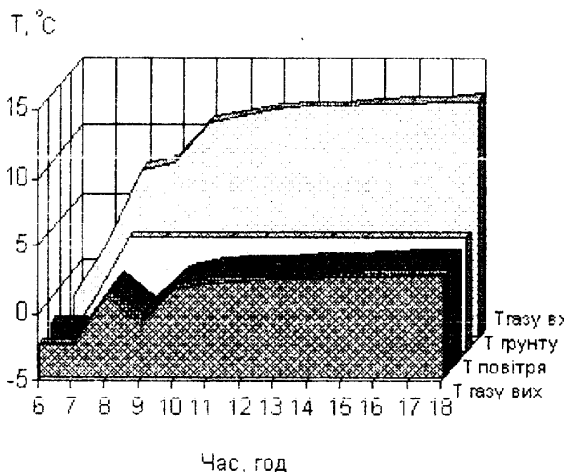


Рисунок 2 – Результати досліджень у випадку встановлення лічильника газу надворі

Тому з достатньою ймовірністю можна приймати температуру атмосферного повітря для розрахунків при приведенні об'єму спожитого газу до нормальних умов у випадку установки лічильників газу поза межами житлового приміщення, тобто надворі. Таким чином, знаючи середню температуру атмосферного повітря в даному регіоні впродовж кожного місяця та загальне споживання в даному місяці газу комунально- побутовими споживачами, можна вирахувати поправки до показів лічильника в кожному місяці або знайти середньозважений (залежно від об'ємів споживання) річний регіональний поправний коефіцієнт до показів побутових лічильників газу в експлуатації за рахунок температурних похибок.

Тепер спробуємо визначити температуру газу на виході з побутового лічильника, що установлений в середині приміщення, тобто при кімнатній температурі 18-22° С.

Для цього прослідкуємо за рухом реально газу в газопроводі і визначимо зміну його температури за рахунок теплообміну з температурним полем ґрунту, природним температурним полем навколошнього середовища та пові-

трям навколо лічильника, установленого в приміщенні.

Згідно з [3] температура даної точки на земній поверхні в основному залежить від сонячної радіації, теплообміну між атмосferою і поверхнею землі і від випромінювання, яке віддається Землею в навколошньому простір.

В роботах [4; 5; 6] на основі функції температури повітря, яка описується рівнянням

$$T_n = T_{cp} + A \cos(\omega t - \varepsilon), \quad (1)$$

де T_{cp} , A – кліматичні характеристики для певного регіону; t – час; ω , ε – параметри закону T_n , подається формула для визначення температури ґрунту, що записується так:

$$T_{cp} = T_{cp} + \Gamma e \left(\frac{1}{h} + y \right) + \\ + \frac{A h \cdot \exp(-\omega'y) \cos(\omega t - \varepsilon - \omega'y - \delta)}{\sqrt{(h + \omega')^2 + \omega'^2}}, \quad (2)$$

$$h = \frac{a_n}{\lambda}, \quad \omega' = \sqrt{\frac{\omega}{2a}}, \quad \delta = \arctg \frac{\omega'}{h + \omega'}, \\ \tau = (n - 1) \cdot \tau_m,$$

де: a_n – коефіцієнт тепlop передачі з поверхні ґрунту в атмосферу; λ – коефіцієнт теплопровідності ґрунту; a – коефіцієнт температуропровідності; Γ – геотермічний градієнт; y – ордината, направлена до центру Землі; n – номер місяця в році; τ_m – кількість годин в 1 місяці року.

Для району Івано-Франківська в роботі [6] одержано аналітичний вираз для функції T_n . З врахуванням даних Івано-Франківського областного центру з гідрометеорології за 1961-2000 роки та на основі багаторічних спостережень (1881-1960), які наведені в [7], нами отримано відкориговані середньомісячні температури для району Івано-Франківська, які подані в таблиці 1.

Таблиця 1 – Середньомісячні температури повітря в м. Івано-Франківську

Місяці року	Середні температури, °C
Січень	-4,8
Лютій	-3,2
Березень	1,4
Квітень	7,9
Травень	13,5
Червень	16,7
Липень	18,3
Серпень	17,7
Вересень	13,5
Жовтень	8,1
Листопад	2,3
Грудень	-2,4

На основі даних таблиці знайдемо новий вираз для функції T_n [6].

Якщо температуру повітря, як і в [6], записати у вигляді

$$T_n = T_{cp} + A \cos(\omega t - \varepsilon) \quad (3)$$

і параметр ε прийняти рівним нулеві, то величина А визначатиметься за формулою

$$A = -\frac{T_{лип} - T_{січ}}{2} = -\frac{18,3 - (-4,8)}{2} = -11,55^{\circ}\text{C},$$

де $T_{лип}$, $T_{січ}$ – температури відповідно липня і січня.

Оскільки відрахунок часу йде від початку січня, то маємо рівняння $T_{січ} = T_{cp} + A$, звідси

$$T_{cp} = T_{січ} - A = -4,8 - (-11,55) = 6,75^{\circ}\text{C}.$$

Таким чином, формула (3) набуває вигляду

$$T_n = 6,75 - 11,55 \cos \omega t. \quad (4)$$

Величина ω знаходиться з рівняння $\omega \tau_p = 2\pi$, τ_p – кількість годин в році.

$$\omega = \frac{2\pi}{\tau_p} = \frac{2\pi}{365 \cdot 24} = 0,717259 \cdot 10^{-3} \text{ год}^{-1}.$$

Приймемо, що в кожному місяці однакова кількість годин $\tau_m = 365 \cdot 24 / 12 = 730$ год. У такому разі формулу (4) можна записати у дещо іншому вигляді

$$T_n = 6,75 - 11,55 \cos(0,717259 \cdot 10^{-3} (n-1) \tau_m). \quad (5)$$

На рис. 3 зображені два графіки. Перший графік – крива середніх температур повітря в Івано-Франківську, побудована за даними багаторічних спостережень, і другий графік – апроксимуюча крива середніх температур, побудована за формулою (4). З рис. 3 видно, що аналітичний вираз (4) досить точно описує зміну середніх температур в Івано-Франківську. Очевидно, що формула (4) може бути використана при дослідження температурних полів навколо газопроводів.

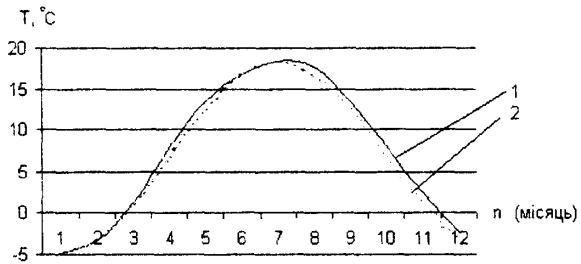


Рисунок 3 – Криві середніх температур повітря в м. Івано-Франківську

Для розрахунку природного температурного поля в ґрунті за формулою (2) використаємо такі вихідні дані [6]: $\alpha_n = 10 \text{ Вт}/(\text{м}^2 \cdot \text{град})$, $\lambda = 1 \text{ Вт}/(\text{м} \cdot \text{град})$, $T_{cp} = 6,75^{\circ}\text{C}$, $A = -11,55^{\circ}\text{C}$, $\omega = 0,717259 \cdot 10^{-3} \text{ год}^{-1}$, $G_e = 0,04167 \text{ град}/\text{м}$, $a = 0,002 \text{ м}^2/\text{год}$.

Результати розрахунку природного температурного поля ґрунту на глибині 0,8 м, де розміщаються осі газопроводів низького та середнього тиску, наведені в таблиці 2.

Таблиця 2 – Температури ґрунту на глибині 0,8 м

Місяці року	Температури ґрунту, °C
Січень	-0,54
Лютий	-1,02
Березень	0,59
Квітень	3,87
Травень	7,92
Червень	11,67
Липень	14,12
Серпень	14,6
Вересень	12,98
Жовтень	9,71
Листопад	5,65
Грудень	1,9

Використовуючи архівні дані однієї з ГРПР ВАТ "Івано-Франківськгаз" в с. Микитинці (графіки середньомісячних витрат газу комунально-побутовими споживачами та температур газу, які наведені на рис. 4 та 5), проведемо розрахунок температури в газопроводі з врахуванням природного температурного поля ґрунту на глибині 0,8 м.

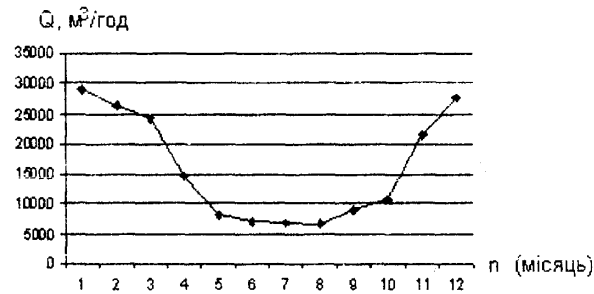


Рисунок 4 – Середньомісячні витрати газу, обліковані на ГРПР в с. Микитинці

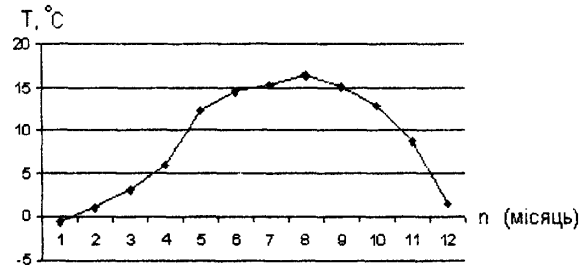


Рисунок 5 – Середньомісячні температури газу на виході з ГРПР в с. Микитинці

Розрахунок температури газу в газопроводі згідно з [4] проводиться за формулою Шухова

$$T_r = T_c + (T_{noч} - T_c) \cdot \exp\left(-\frac{k \pi D_h x}{G C_p}\right), \quad (6)$$

де: T_r – температура газу в певній точці газопроводу; T_c – температура середовища навколо газопроводу (ґрунту – для підземних газопроводів, атмосферного повітря – для надземних газопроводів та повітря в кімнаті – для ділянки газопроводу від входу в опалювальне приміщення до лічильника); $T_{noч}$ – температура газу на початку газопроводу (підземного, надземного, кімнатного); k – коефіцієнт теплопередачі

від газу до середовища навколо газопроводу; D_h – діаметр труби газопроводу; x – відстань від початку до досліджуваної точки газопроводу; C_p – питома теплоємність газу; G – масова витрата газу на досліджуваній ділянці газопроводу.

Для розрахунку температури в газопроводі використаємо такі вихідні дані: $D_h=0,15\text{м}$, $x=7000\text{м}$, $C_p=0,50668 \text{ ккал}/\text{кг}\cdot^{\circ}\text{C}$.

Залежно від способу прокладання газопроводу (підземного, надzemного чи кімнатного), його діаметра, значення коефіцієнта тепlopерації k буде різним.

Для випадку прокладання газопроводу під землею значення k залежить від глибини прокладання газопроводу, структури (пісок, глина) та вологості ґрунту. Для ґрунтів даного регіону значення k визначається з графіка (рис. 6), наведеноого в роботі [7] і становить $1,25 \text{ ккал}/\text{м}^2\cdot\text{год}\cdot^{\circ}\text{C}$.

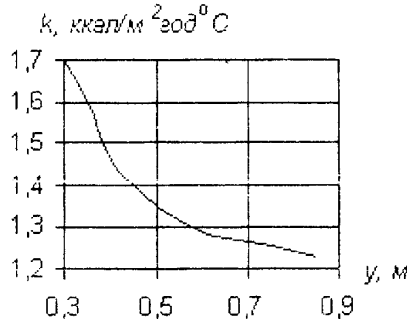


Рисунок 6 – Крива залежності коефіцієнта тепlopерації від глибини прокладання газопроводу

Графіки температур ґрунту та газу на початку і в кінці підземного газопроводу наведені на рис. 7.

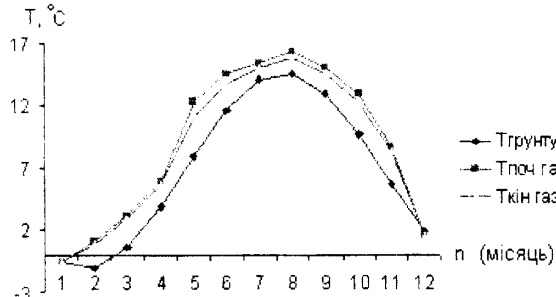


Рисунок 7 – Графік зміни температур ґрунту та газу в кінці підземного газопроводу

На зовнішній поверхні надzemного газопроводу одночасно протікають процеси тепlopомінну випромінюванням, конвенцією і тепlopровідністю. На тепловий режим надzemного газопроводу суттєво впливає сонячна радіація, швидкість і напрям вітру, температура повітря і ряд параметрів, які залежать від пори року і доби, а також від атмосферних умов.

Коефіцієнт тепlopерації від газу надzemного газопроводу до навколошнього середовища визначається за номограмою, наведеною в [8], і для даного регіону становить $70 \text{ ккал}/\text{м}^2\cdot\text{год}\cdot^{\circ}\text{C}$.

Як свідчать результати розрахунків, в надzemному газопроводі, підведеному до житлових будинків, температура газу практично досягає температури навколошнього середовища, і газ в будинки поступає з температурою, наведеною в табл. 1.

Розглядаючи лічильник як тепlopомінник, температуру на виході з лічильника визначають за формулою, наведеною в роботі [9]

$$T_a = T_c + (T_e - T_c) \cdot \exp \left[- \frac{kF}{\rho C_p Q} \right], \quad (7)$$

де: T_a – температура газу на вході лічильника; T_c – температура середовища (повітря в кімнаті); k – коефіцієнт тепlopерації; ρ – густина газу; C_p – питома теплоємність газу; Q – об'ємна витрата; F – площа поверхні тепlopомінну в лічильнику.

Для прикладу проведемо розрахунок температури газу на виході з мембраниого лічильника типу МКМ G6 виробництва фірми "Premagas", установленого в опалювальному приміщенні на відстані до $0,5 \text{ м}$ від входу газопроводу в приміщення, при різних об'ємних витратах споживання. Для цього використаємо такі вихідні дані: $\rho=0,68 \text{ кг}/\text{м}^3$, $C_p=0,50668 \text{ ккал}/\text{кг}\cdot^{\circ}\text{C}$, $F=0,22 \text{ м}^2$.

Коефіцієнт тепlopерації k визначимо експериментально, проімітувавши в одній із камер тепла та холода (КТХ), з якої буде здійснюватися забір повітря, температуру навколошнього середовища, а в іншій КТХ, де установленний лічильник, температуру повітря в приміщенні ($18-22^{\circ}\text{C}$). Схема експерименту наведена на рис. 8.

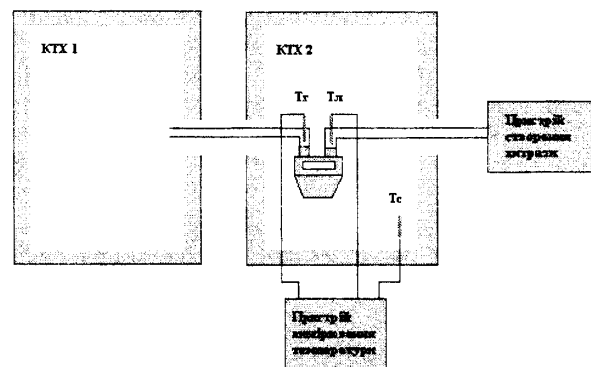


Рисунок 8 – Схема експерименту з визначення коефіцієнта тепlopерації

Підставивши результати експерименту (для повітря) в формулу Шухова, отримаємо коефіцієнти тепlopерації $k=9,24; 6,77; 4,83; 3,55 \text{ ккал}/\text{м}^2\cdot\text{год}\cdot^{\circ}\text{C}$ для витрат $Q=6; 4; 2,5; 1,6 \text{ м}^3/\text{год}$ відповідно. Підставивши отримані значення коефіцієнтів у формулу (7), отримаємо температуру газу на виході із лічильника.

Кінцевий результат розрахунків (температури газу на виході із лічильника типорозміру G6 фірми "Premagas", установленого у побутового споживача), поданий у вигляді графіків (рис. 9).

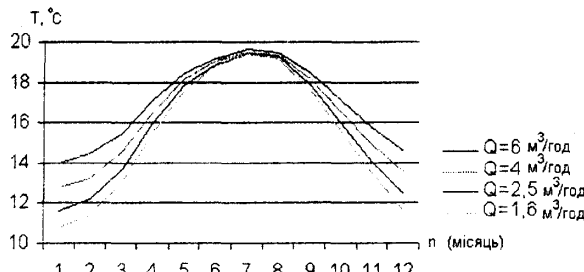


Рисунок 9 – Температури газу на виході з лічильника типорозміру G6 фірми "Premagas"

Аналізуючи результати розрахунків, можна зробити висновок, що різниця температур газу на виході з даного лічильника, установленого в приміщенні, та температурою приведення газу до нормальних умов (20°C), при різних об'ємах споживання, може становити 9 градусів. Враховуючи, що зміна температури газу на 1°C призводить до зміни його об'єму на 0,34%, дійсний об'єм спожитого газу може бути занижений порівняно з показами лічильника на 3,06%.

Таким чином, за відомими об'ємами споживання газу в різних місяцях можна знайти середньозважені річні коефіцієнти для різних об'ємів споживання за формулою (8) і врахувати їх при кінцевих розрахунках за газ.

$$k = \frac{\sum_{n=1}^{12} (T_{20} - T_n) \cdot 0,34 \cdot Q_n}{\sum_{n=1}^{12} Q_n}, \quad (8)$$

де: T_{20} – температура газу за нормальних умов, T_n – обчислена середньомісячна температура газу, Q_n – середньомісячна витрата газу.

Так, для району Івано-Франківська при щомісячному споживанні, наведеному на рис. 4, для витрат газу $Q=6; 4; 2,5; 1,6 \text{ м}^3/\text{год}$, облікованого лічильником типорозміру G6 фірми "Premas-

gas", ці коефіцієнти становитимуть 1,023378; 1,021209; 1,018187; 1,013909 відповідно.

Для номінальних витрат інших типів лічильників з врахуванням теплообміну газу в газопроводі на ділянці між входом газопроводу в опалювальне приміщення та лічильником автомобіями будуть проведені експериментальні та теоретичні дослідження, результати яких будуть наведені в наступній статті.

Література

- Organization Internationale de Metrologie Legale: International recommendation No. 31 Diaphragm Gas Meters. July 1987.
- Dr. Béla BÁTYI. Why to use gas meters with temperature compensation in households? // Збірник статей конференції "METROLOGIE", 3-4 червня 1998р., Чехія.
- Гутенберг Б. Физика земных недр. – М.: Изд-во иностр. литер., 1963. – 264 с.
- Карслу Г. и Егер Д. Теплопроводность твердых тел. – М.: Наука, 1964. – 488 с.
- Дубина М.М., Красовицкий Б.А. Теплобмен и механика взаимодействия трубопроводов и скважин с грунтами. – Новосибирск: Наука, 1983. – 134 с.
- Грудз В.Я., Тутко Т.Ф. Природне температурне поле верхніх шарів ґрунту // Матеріали 6^ї Міжнародної науково-практичної конференції "Нафта і газ України – 2000". Збірник наукових праць. – Івано-Франківськ, 2000. – Т. 3. – С. 10-14.
- Природа Івано-Франківської області. За ред. Геренчука К.І. К.: Вища школа, 1973. – 160 с.
- Ходанович И.Е., Кривошеин Б.Л., Бикчентай Р.Н. Тепловые режимы магистральных газопроводов. – М.: Недра, 1971. – 216 с.
- Уоинг Х. Основные формулы и данные по теплообмену для инженеров. – М.: Атомиздат, 1979. – 216 с.

УДК 539.3

ОХОЛОДЖЕННЯ КІЛЬЦЕВОГО ДИСКА ПІСЛЯ ПОСАДКИ ЙОГО НА ЖОРСТКИЙ ВАЛ

О.Шаблій, Н.Гащін

Тернопільський державний технічний університет імені Івана Пулюя,
46001, Тернопіль, вул. Руська, 56, тел. (0352) 224181, e-mail: inform@u.edu.te.ua

Определены температурные поля и исследовано напряженно-деформированное состояние вязкоупругого кольцевого диска в процессе его охлаждения после посадки на жесткий вал

Для підвищення працездатності газокомпресорного обладнання велике значення має оптимально підібраний технологічний процес складання частин швидкохідних роторів – турбінних коліс, лабіrintних ущільнень та інших

Temperature field was found and stress-stain state of the visco-elastic ring disk during its cooling after fitting it on the rigid shaft was investigated.

деталей типу кільцевих дисків. Великі швидкості обертання вказаних елементів створюють в них значні внутрішні напруження та деформації. Застосування шліцевих, шпонкових та різьбових методів з'єднання деталей в цьому випа-